
Gaz granulaire 1 dimension à une particule

Résumé : *Lors de ce stage, nous avons étudié les rebonds d'une bille sur un plateau vibrant. Il s'agit d'un système dissipatif et entretenu, dans la mesure où la bille perd de l'énergie par choc inélastique et en gagne par transfert d'impulsion avec le plateau. Le montage conçu lors du stage nous a permis d'étudier les états énergétiques de la bille et ainsi que les corrélations qui existent entre les mouvements du plateau et de la bille. Nous avons pu mesurer avec précision le coefficient de restitution en vitesse ε de la bille avec différentes méthodes. L'étude du rôle des corrélations entre la bille et le plateau nous ont permis de faire apparaître le rôle prépondérant de "l'effet d'ombre" présent lors de la chute de la bille. Enfin, nous avons pu accéder aux distributions de probabilité des énergies injectée et dissipée lors d'un choc.*

Mots clefs : *Gaz granulaire - Système dissipatif entretenu*

Stage encadré par :

Jean-Christophe Géminard

jean-christophe.geminard@ens-lyon.fr / tél. (33) 4 72 72 83 75

Laboratoire de Physique (U.M.R. 5672 CNRS)

46, Allée d'Italie

69364 Lyon cedex 07 - FRANCE.



Remerciements

Je tiens tout d'abord à remercier Jean-Christophe Géminard qui m'a encadré durant ce stage. Grâce à sa disponibilité, son aide et sa gentillesse, j'ai pu découvrir le monde de la recherche et travailler durant ces deux mois sur un thème passionnant. Merci également à Eric Bertin qui m'a apporté des éléments de théorie et à Vincent Grenard qui m'a grandement aidé dans l'utilisation des logiciels Labview et Matlab. Enfin, je remercie toute l'équipe du laboratoire pour son accueil.

Table des matières

1	Introduction	1
2	Première approche du système	2
2.1	Montage	2
2.1.1	Matériel	2
2.1.2	Capteurs	3
2.2	Théorie	4
2.3	Traitement des données	5
2.4	Estimation du coefficient de restitution en vitesse par différentes méthodes	6
2.4.1	Chute sur plateau immobile	6
2.4.2	Etude du mode 1	7
2.4.3	Vérification de la loi de choc locale	8
2.4.4	Auto-corrélation de l'énergie	9
2.5	Premières observations	9
2.5.1	Energie	9
2.5.2	Corrélations entre plateau et bille	10
3	Etude énergétique du système	12
3.1	Influence des corrélations	12
3.2	Comparaisons des deux excitations : S et MF	14
3.3	Energies injectées et dissipées à chaque choc	16
3.3.1	Théorie	16
3.3.2	Résultats	16

1 Introduction

Ce stage a été effectué dans le Laboratoire de Physique de l'ENS, au sein du groupe "Matière Molle et Systèmes Biologiques". L'expérience traite du comportement dynamique d'une bille rebondissant sur un plateau en vibration. L'objectif du stage était d'étudier un modèle simple de système dissipatif et entretenu.

Une seule bille vibrée et soumise à la gravité est un système simple qui a été très largement utilisé dans les années 1980-90, notamment pour étudier les transitions vers le chaos [1, 2]. Le problème a été abordé de nombreuses fois, essentiellement par des approches numériques [3]. Ceci a permis d'étudier des comportements non linéaires, les bifurcations des mouvements périodiques vers les mouvements chaotiques, les mécanismes de vibration.

Un ensemble de billes vibrées est un prototype de gaz dissipatif. De tels systèmes nécessitent une injection continue d'énergie pour compenser les pertes dues aux collisions entre les particules. Il est intéressant, d'un point de vue théorique, d'étudier les modifications apportées par la dissipation aux propriétés du système que l'on compare à celles d'un système classique décrit par la mécanique statistique des systèmes conservatifs : transitions de phase, distributions des vitesses des particules, etc. Dans sa réalisation expérimentale la plus simple, le gaz consiste en un ensemble de billes recouvrant partiellement (moins d'une monocouche) un plateau horizontal sujet à un mouvement de vibration vertical [4, 5].

Il n'existe cependant que peu d'études des rebonds de la bille seule prenant en considération les propriétés énergétiques ou statistiques de ses trajectoires. Il n'existe à notre connaissance que deux contributions expérimentales à ce sujet [6, 7]. Ces deux études, pour des raisons techniques, ne permettent pas d'établir clairement les corrélations existant entre les mouvements de la bille et du plateau, par exemple. Nous avons donc décidé d'étudier les trajectoires d'une bille vibrée avec pour objectif de fournir des données sur l'ensemble de la trajectoire (positions et vitesses de la bille et du plateau, instants des collisions) et ce, même dans le cas d'un mouvement quelconque du plateau. Cette étude permet de discuter, du point de vue de la physique statistique des gaz granulaires, de la qualité du "thermostat" que constitue une paroi vibrante. En outre, nous avons adopté un point de vue différent, en considérant que l'échange d'énergie lors des collisions entre la bille et le plateau se décompose en deux contributions de natures différentes :

- un apport d'énergie (par transfert d'impulsion), la quantité d'énergie que prendrait la bille dans le cas d'une collision parfaitement élastique
- une perte d'énergie (par choc inélastique), la différence entre la quantité d'énergie effectivement échangée et celle prévue dans le cas élastique.

De ce point de vue, on peut considérer que la bille constitue un prototype d'un système dissipatif et entretenu.

Lors de ce stage, nous avons conçu et mis en place un montage qui permet d'étudier avec précision le mouvement de la bille au cours du temps, en utilisant un capteur de position et un micro. Nous avons écrit un code qui permet de reconstruire les trajectoires de la bille. après un phase de mesures et d'observations, nous avons étudié les corrélations entre les mouvements de la bille et du plateau en soumettant la bille à une excitation non purement sinusoïdale. Enfin, nous avons pu accéder aux répartitions énergétiques (dissipation et gain) relatives à la bille.

2 Première approche du système

Dans un premier temps, nous avons cherché à vérifier les lois qui régissent les rebonds d'une bille libre sur un support vibrant. Ce travail a permis d'étalonner les différents capteurs utilisés et de vérifier la cohérence des résultats obtenus. Après avoir étudié les modes périodiques et l'énergie de la bille, nous avons observé les corrélations qui peuvent exister entre les mouvements du plateau et de la bille.

2.1 Montage

2.1.1 Matériel

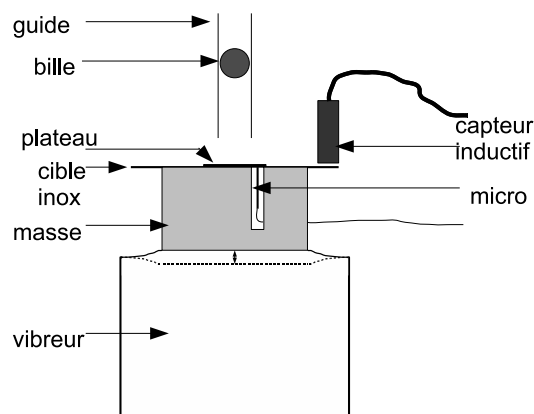


FIGURE 1 – Schéma du montage expérimental vu de côté (pas à l'échelle)

Dans notre montage (figure 1), nous avons utilisé une bille en acier de diamètre 8mm . La taille du plateau était de 3cm et celle du guide de 15cm . Pour l'excitation, nous avons utilisé un pot vibrant Brüel et Kjaer, couplé à un amplificateur de puissance et alimenté par une tension variable qui impose un mouvement sinusoïdal de fréquence f et d'amplitude A au plateau en verre. Ainsi la hauteur du plateau vérifie au cours du temps (équation (a)) $h(t) = A\sin(\omega t)$ avec $\omega = 2\pi f$. Nous avons travaillé sur une gamme de fréquence $f \in [25; 100]\text{Hz}$.

Ce montage permet de respecter différentes contraintes. Tout d'abord, le plateau doit avoir un mouvement parfaitement sinusoïdal, afin de pouvoir contrôler son effet sur la bille. Cela implique que le choc de la bille ne crée pas un recul trop important sur le plateau. Dans ce but, nous avons augmenté l'inertie du plateau grâce à une masse d'environ 800 grammes, ce qui limite l'amplitude du mouvement parasite créé par le choc.

D'autre part, la bille doit être maintenue au-dessus du support lors de ses chocs successifs. Pour cela, nous avons utilisé un guide métallique, dont le diamètre intérieur est légèrement supérieur à celui de la bille. Ce dispositif n'évite pas totalement les frottements, mais présente l'avantage de pouvoir utiliser un matériau rigide et plan pour le plateau vibrant (ici, du verre) qui dissipe peu d'énergie lors du choc. Une solution utilisée en général consiste à faire rebondir la bille sur une lentille.

Le vibreur a une course maximale de 6mm et permet d'accélérer le plateau jusqu'à 5g ($49\text{m}\cdot\text{s}^{-2}$) sur une gamme de 20Hz à 20kHz .

2.1.2 Capteurs

Le capteur inductif orienté vers une cible en inox permet de repérer la position du plateau. Ce type de capteur possède un champ magnétique externe, qui est modifié par la présence d'un métal. Il délivre en sortie une tension proportionnelle à la distance capteur/cible métallique avec un gain spécifique à la nature du métal. Pour l'inox, sa gamme de fonctionnement est de 1-10.5 Volts, avec un gain de $3.259 \pm 0.001 V/mm$. Ceci permet donc de mesurer des distances allant jusqu'à 3 mm environ. En pratique, l'amplificateur de puissance qui alimente le pot vibrant possède une intensité sortante limitée à 5 Ampères. La gamme d'accélération relative accessible est donc $\Gamma = \frac{A\omega^2}{g} \in [0; 3]$. Le capteur a été étalonné en déplaçant la cible à l'aide d'une vis micrométrique, et le résultat obtenu a été recoupé avec d'autres mesures afin d'en vérifier la précision (problème de l'horizontalité de la face inférieure du capteur et de la plaque en inox).

Un micro en contact avec le plateau en verre permet de repérer les instants de chocs de la bille. Ce micro n'est sensible qu'aux très hautes fréquences (>30000 Hz), et délivre quelques charges électriques lorsqu'il perçoit un signal sonore. Nous avons donc fabriqué un amplificateur de courant (figure 2) afin de pouvoir traiter facilement le signal obtenu.

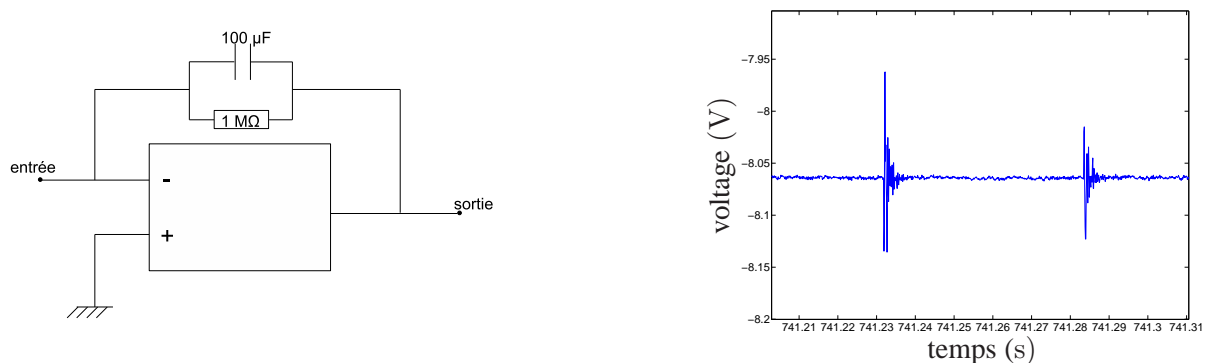


FIGURE 2 – Montage électrique amplificateur couplé au micro et signal délivré par le montage. Les pics observés sur le signal correspondent à des chocs de la bille sur le plateau.

Dans ce montage suiveur, les charges produites par le micro passent par la résistance $R = 1M\Omega$, créant ainsi une tension en sortie $V_s = R.i$ de l'ordre de 10 Volts. Afin d'éviter la présence de bruit dans le signal final, l'alimentation $\pm 15V$ de l'amplificateur opérationnel a été montée avec des condensateurs d'isolement et le montage électronique a été placé dans une boîte métallique pour se prémunir du bruit électrique résiduel de 50 Hz.

Les signaux issus du capteur inductif et du micro pourront donc être utilisés pour connaître la position instantanée du plateau et les temps de chocs de la bille avec le plateau.

2.2 Théorie

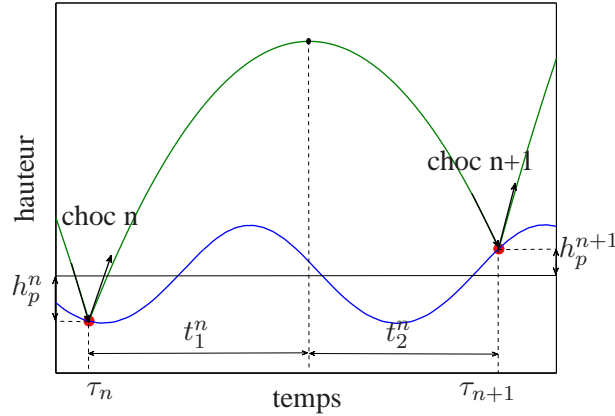


FIGURE 3 – Schéma représentatif de la trajectoire de la bille

Notre premier objectif dans cette étude était de pouvoir reconstituer la trajectoire d'une bille libre soumise à une excitation sinusoïdale. A l'instant du choc n , τ_n , la bille se trouve au contact du plateau, à la hauteur h_p^n . Ainsi, entre les chocs n et $n+1$ (figure 3), la bille fait un vol de durée $\Delta t_n = \tau_{n+1} - \tau_n$ et la différence de hauteur entre les points de départ et d'arrivée vaut $\Delta h_n = h_p^{n+1} - h_p^n$. La conservation de l'énergie et la relation sur le temps permettent d'accéder aux temps de vol du point de départ au sommet de la parabole, t_1^n , et du sommet de la parabole au point d'arrivée, t_2^n , :

$$\frac{1}{2}g(t_1^n)^2 + h_p^n = \frac{1}{2}g(t_2^n)^2 + h_p^{n+1} \quad (b) \quad t_1^n + t_2^n = \Delta t_n$$

On a alors $v_a^n = -gt_2^{n-1}$ et $v_d^n = gt_1^n$, respectivement les vitesses d'atterrissage et de décollage de la bille autour du choc n . On peut également obtenir l'énergie de la bille après le choc n , $E_n = mgh_p^n + \frac{1}{2}m(v_d^n)^2$. Ainsi pour le choc n , on peut accéder aux quantités suivantes : τ_n , h_p^n , v_a^n , v_d^n , E_n . Enfin, la trajectoire de la bille est alors calculée comme étant l'unique parabole de courbure $g = 9.81m/s$ qui relie les deux points des chocs n et $n+1$:

$$h(t) = h_p^n + \left(\frac{\Delta h_n}{\Delta t_n} + \frac{g\Delta t_n}{2} \right) * (t - \tau_n) - \frac{g}{2} * (t - \tau_n)^2$$

Pour modéliser le choc inélastique de la bille sur le plateau, nous avons utilisé la loi de choc définie via le coefficient de restitution en vitesse ε . Ainsi, les vitesses relatives d'atterrissage et de décollage de la bille sont liées par la relation

$$v_{rd} = -\varepsilon v_{ra} \quad (c)$$

Dans le cas où la bille fait un vol libre de durée $T = \frac{1}{f}$ avant de frapper à nouveau le plateau à la même hauteur, on parle de mode 1. Il s'agit d'un mode où la bille est synchronisée avec le plateau. Elle atteint donc le sommet de sa trajectoire à $\frac{T}{2}$, ce qui impose $v_d = \frac{gT}{2}$. Avec la loi de choc locale (c), on a $(v_d - v_p) = -\varepsilon (v_a - v_p)$ où v_p est la vitesse du plateau, et la vitesse de décollage est égale à la vitesse d'atterrissage en module $v_d = -v_a$. De plus avec le mouvement du plateau (a), $v_p = A\omega \cos(\Phi)$ avec $\Phi = \omega\tau_n$. On a alors la loi

$$\cos(\Phi) = \frac{\pi g}{A\omega^2} \left(\frac{1 - \varepsilon}{1 + \varepsilon} \right) \quad (d)$$

2.4 Estimation du coefficient de restitution en vitesse par différentes méthodes

2.4.1 Chute sur plateau immobile

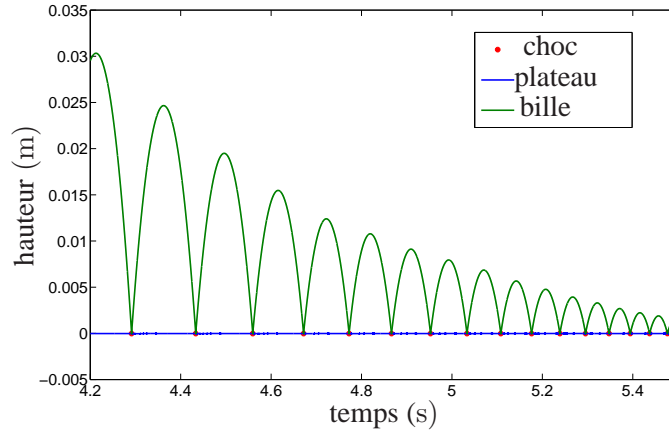


FIGURE 5 – Reconstitution de la trajectoire de la bille sur plateau immobile

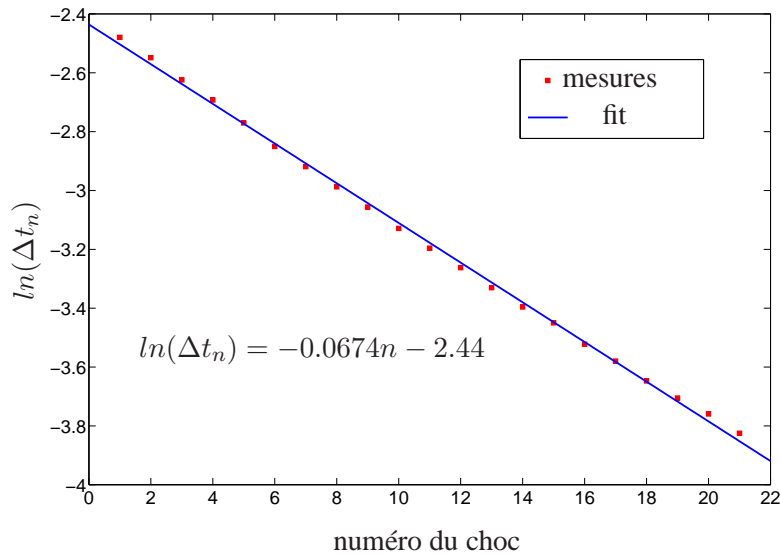


FIGURE 6 – Détermination du coefficient de restitution en vitesse par loi de choc locale

Dans un premier temps, nous avons étudié le mouvement de la bille dans le cas où le plateau est immobile. On lâche la bille d’une hauteur fixée et on mesure les instants de chocs. Dans ce cas, on a $v_n = \varepsilon^n v_0$, v_n étant la vitesse de décollage après le choc d’indice n . Les temps de vols Δt_n étant proportionnels aux vitesses v_n , on a directement la loi $\ln(\Delta t_n) = \Delta t_0 + n \ln(\varepsilon)$. Plusieurs mesures effectuées dans ces conditions permettent d’accéder à la trajectoire de la bille (figure 5) et à une très bonne estimation du coefficient de restitution.

On obtient donc (figure 6) $\varepsilon = 0.936 \pm 0.004$, ce qui correspond bien à un plateau relativement peu dissipatif (ε proche de 1). La précision sur cette valeur est très grande dans la mesure où elle ne fait intervenir que des déterminations de temps de chocs. Les fluctuations observées sont principalement dues aux frottements plus ou moins importants de la bille sur le guide.

On obtient donc ainsi une première estimation du coefficient de restitution indépendante des calibrations, sinon de la période d’échantillonnage de la carte d’acquisition.

2.4.2 Etude du mode 1

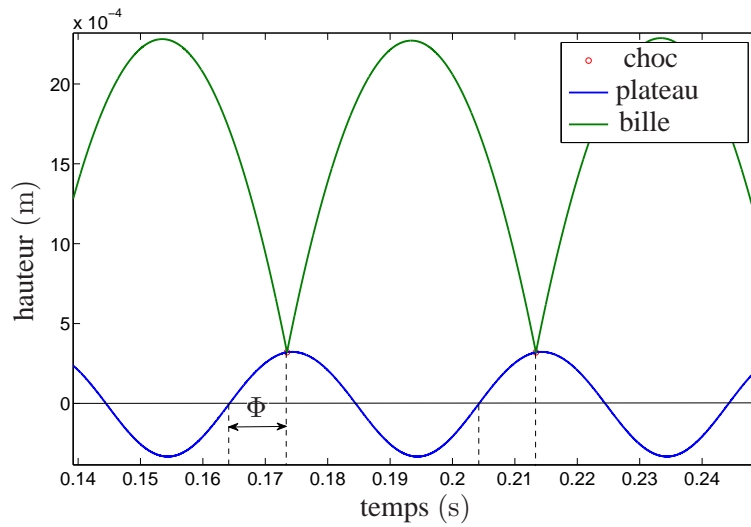


FIGURE 7 – Reconstitution de la trajectoire de la bille en mode 1, après mesure des hauteurs et des instants de chocs

Il est possible d’observer des modes synchronisés de la bille avec le plateau vibrant comme le mode 1 (la bille a un temps de vol $T = 1/f$, figure 7).

On peut alors vérifier la loi (d) donnant la phase de choc en fonction de l’accélération relative.

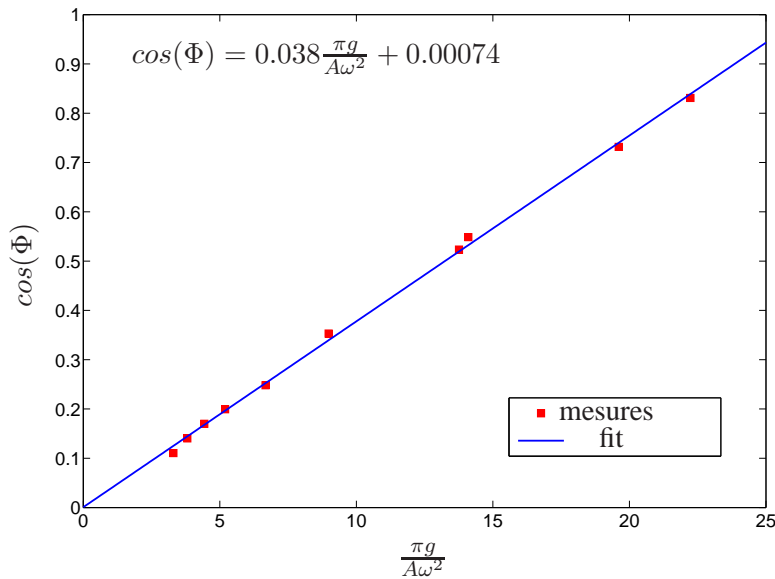


FIGURE 8 – Cosinus de la phase Φ en fonction de l’inverse de l’accélération relative $\frac{\pi}{T}$

Nous avons travaillé à fréquence fixée $f = 25Hz$ pour obtenir les résultats présentés sur la figure 8. Pour chaque point, nous avons fait une acquisition sur 10 secondes et moyenné les 250 mesures pour obtenir la phase Φ . On obtient avec ces mesures $\varepsilon = 0.93 \pm 0.01$, ce qui est bien compatible avec le résultat obtenu en 1.3.1. Pour obtenir un tel accord, il faut s’assurer que l’accélération est correctement mesurée, ce qui impose une calibration correcte du capteur de position. D’où l’intérêt de ce résultat.

Il apparaît sur la figure 7 que le mode 1 est difficilement accessible pour Φ proche de 0 ou $\pi/2$. Ces deux positions limites correspondent en effet aux limites de stabilité du mode. Pour $\Phi = 0^-$, la bille n’a plus assez

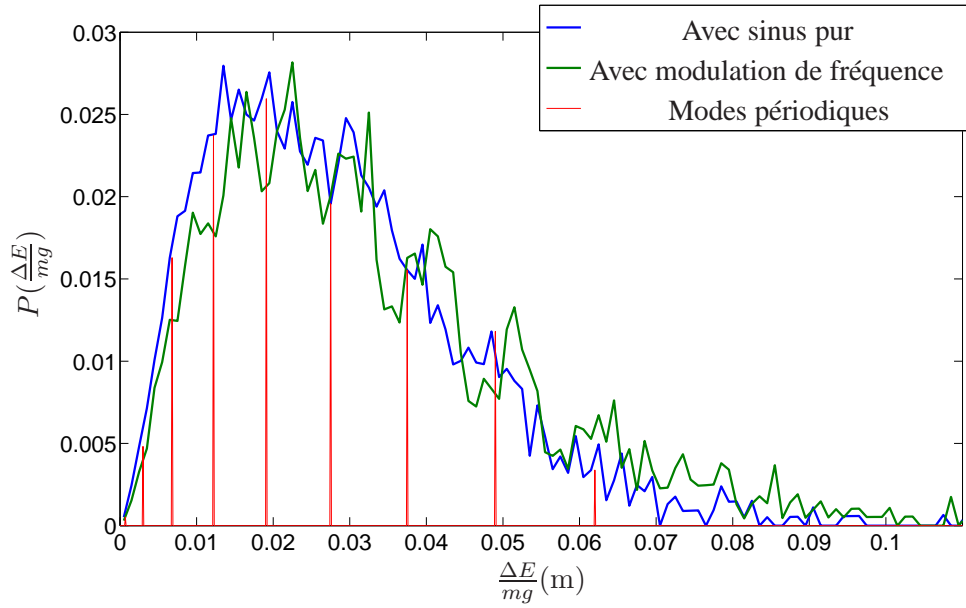


FIGURE 18 – Distributions de probabilité des énergies

Nous avons également observé l’auto-corrélation des énergies dans les deux cas (figure 19). L’échelle logarithmique montre clairement que la décroissance est exponentielle dans le cas MF, comme le prévoit la théorie selon $\rho(k) = \exp(k \cdot 2 \ln(\varepsilon))$. La pente conduit à un coefficient de restitution $\varepsilon = 0.89 \pm 0.01$, inférieur à celui mesuré précédemment, mais l’ordre de grandeur est correct.

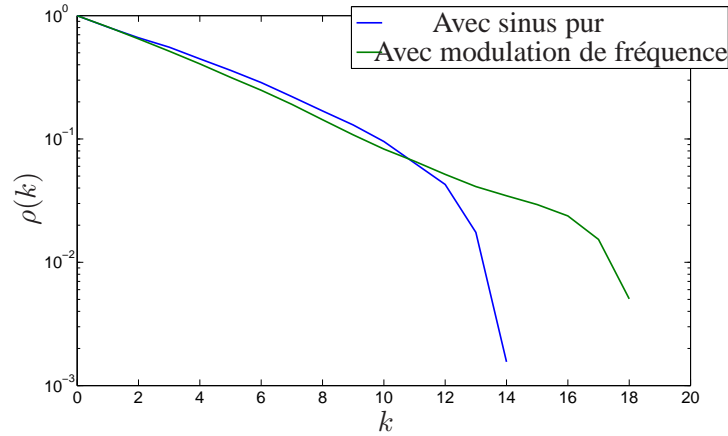


FIGURE 19 – Auto-corrélations comparées de l’énergie de la bille acquise après un choc (échelle logarithmique)

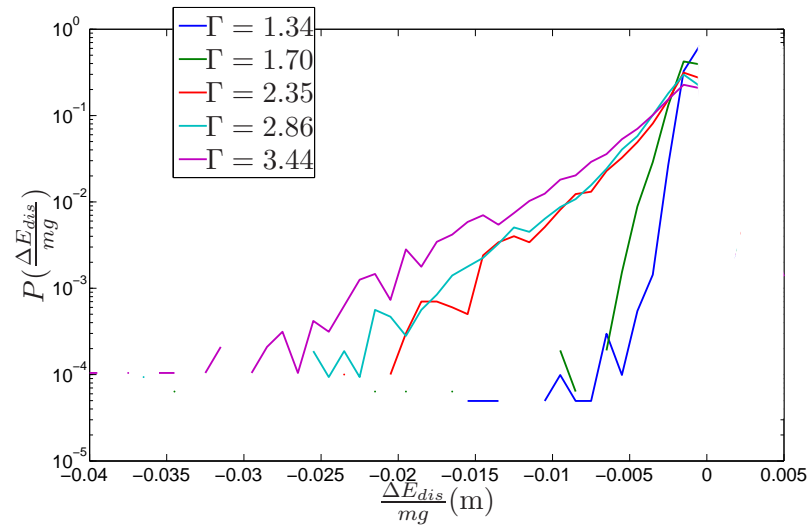


FIGURE 22 – Distributions de probabilité des incréments d'énergie dissipée (échelle logarithmique)

Enfin, les distributions de probabilité des incréments d'énergie dissipée sont représentées sur la figure 22. L'énergie dissipée lors d'un choc est toujours négative (algébriquement) car le choc est inélastique. Quelle que soit Γ , la distribution suit une loi exponentielle probablement liée au mode de dissipation. Là encore, l'énergie dissipée lors d'un choc peut être plus importante lorsque la bille chute plus rapidement (i.e. à grand Γ).

